Mécanique des milieux continus solides et fluides

Corrigé succinct du test 1 du 11 janvier 2016, avec compléments

Problème: Étude et dimensionnement d'une coque de sous-marin sphérique

I Étude de dimensionnement

1.a • Dans la configuration de référence,

$$\overline{\mathbf{T}} = \overline{\mathbf{T}}_0 = -p_{\text{atm}}\overline{\mathbf{e}}_r$$
 à l'extérieur $r = b$, $\overline{\mathbf{T}} = \overline{\mathbf{T}}_0 = p_{\text{atm}}\overline{\mathbf{e}}_r$ à l'intérieur $r = a$;

• dans la configuration actuelle en plongée,

$$\overline{\mathbf{T}} = -(p_{\text{atm}} + \delta p) \ \overline{\mathbf{e}}_r \ \text{à l'extérieur} \ r = b \ , \quad \overline{\mathbf{T}} = p_{\text{atm}} \overline{\mathbf{e}}_r \ \text{à l'intérieur} \ r = a \ ;$$

cf. la Fig. 1a.

- 1.b En soustrayant les champs de la configuration de référence, notés $\overline{\mathbf{T}}_0$ ci-dessus, on obtient
 - dans la configuration de référence,

$$\overline{\mathbf{T}} = \overline{\mathbf{0}}$$
 à l'extérieur $r = b$ et à l'intérieur $r = a$;

• dans la configuration actuelle en plongée,

$$\overline{\bf T} = -\delta p \ \overline{\bf e}_r$$
 à l'extérieur $r=b$, $\ \overline{\bf T} = \overline{\bf 0}$ à l'intérieur $r=a$;

cf. la Fig. 1b.

1.c Cause du mouvement = densité de forces surfaciques

$$\overline{\mathbf{T}} = -\delta n \, \overline{\mathbf{e}}_r$$

appliquée à l'extérieur en plongée. Principe de Curie : toutes les symétries de ce champ « cause » doivent se « retrouver » dans le champ « effet » = le champ de déplacement $\overline{\bf u}$. On doit pouvoir montrer que ce champ $\overline{\bf u}$ est d'une forme similaire au champ $\overline{\bf T}$:

$$\overline{\mathbf{u}} = u(r) \overline{\mathbf{e}}_r$$
.

Le champ « cause » $\overline{\mathbf{T}}$ étant centripète, $T_r < 0$, il doit en être de même pour le champ « effet » $\overline{\mathbf{u}}$: a priori, $\forall r \in [a,b]$, u(r) < 0.

 ${\bf 2}~\delta p=\rho g H \simeq 1100~{\rm bars}$, surpression énorme : sur une surface de 1 m², la force exercée est mg avec $m\simeq 11000~{\rm t}.$

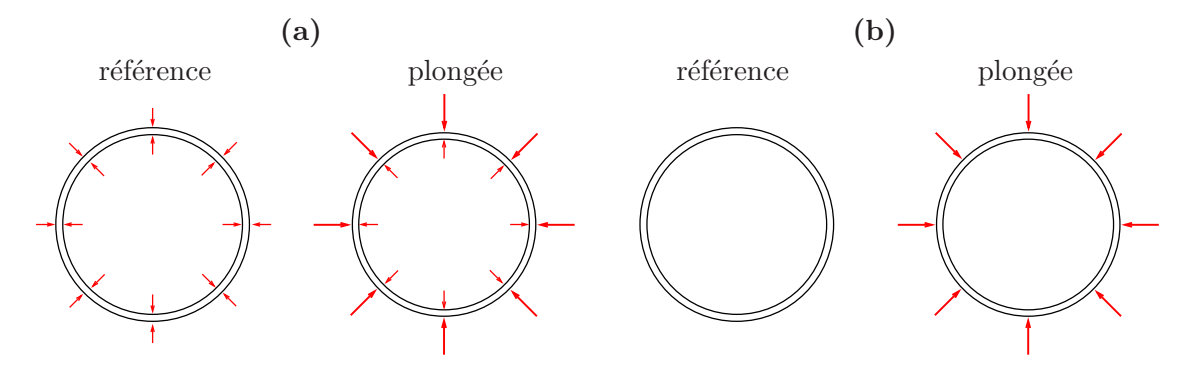


Fig. 1 — Coupes de la coque en configuration de référence (gauche) - en plongée (droite), avec représentations des densité de forces surfaciques physiques (a) - lorsque l'on travaille en différence entre ces deux configurations (b).

3.a
$$\overline{\overline{\nabla}}\overline{u} = u'\overline{e}_r \otimes \overline{e}_r + (u/r)(\overline{e}_{\theta} \otimes \overline{e}_{\theta} + \overline{e}_{\varphi} \otimes \overline{e}_{\varphi})$$
.

3.b $\overline{\overline{\nabla}}\overline{u} = \overline{\overline{\epsilon}}$, partie antisymétrique et rotationnel nuls.

4.a
$$\overline{\mathbf{0}} = (\lambda + 2\mu)\overline{\nabla} \operatorname{div} \overline{\mathbf{u}} \implies \operatorname{uniformit\'e de \operatorname{div}} \overline{\mathbf{u}} : \operatorname{div} \overline{\mathbf{u}} = 3A$$
.

$$\mathbf{4.b} \quad u = Ar + B/r^2 \quad .$$

$$\mathbf{5} \ \overline{\overline{\epsilon}} = (A - 2B/r^3) \ \overline{\mathbf{e}}_r \otimes \overline{\mathbf{e}}_r + (A + B/r^3) \ (\overline{\mathbf{e}}_\theta \otimes \overline{\mathbf{e}}_\theta + \overline{\mathbf{e}}_\varphi \otimes \overline{\mathbf{e}}_\varphi) \ .$$

$$\mathbf{6} \ \overline{\overline{\sigma}} = \left[(3\lambda + 2\mu)A - 4\mu B/r^3 \right] \overline{\mathbf{e}}_r \otimes \overline{\mathbf{e}}_r + \left[(3\lambda + 2\mu)A + 2\mu B/r^3 \right] \left(\overline{\mathbf{e}}_\theta \otimes \overline{\mathbf{e}}_\theta + \overline{\mathbf{e}}_\varphi \otimes \overline{\mathbf{e}}_\varphi \right) .$$

7 Conditions en contrainte :

$$\overline{\overline{\sigma}}(r=b) \cdot \overline{\mathbf{e}}_r = -\delta p \ \overline{\mathbf{e}}_r \quad \text{et} \quad \overline{\overline{\sigma}}(r=a) \cdot (-\overline{\mathbf{e}}_r) = \overline{\mathbf{0}}$$

$$\iff \boxed{A = -\frac{b^3}{b^3 - a^3} \frac{\delta p}{3\lambda + 2\mu}} \quad \text{et} \quad \boxed{B = -\frac{a^3 b^3}{b^3 - a^3} \frac{\delta p}{4\mu}}.$$

$$A \equiv \frac{\ell^3}{\ell^3} \frac{p}{p} \equiv 1$$
 et $B \equiv \frac{\ell^6}{\ell^3} \frac{p}{p} \equiv \ell^3$ en cohérence avec $u = Ar + B/r^2 \equiv \ell$.

A et B sont strictement négatives, on a donc bien $u(r) = Ar + B/r^2 < 0$ comme conjecturé en 1.c.

8.a
$$\sigma_1 = \sigma_{rr} = (3\lambda + 2\mu)A - 4\mu B/r^3$$
, $\sigma_2 = \sigma_3 = \sigma_{\theta\theta} = \sigma_{\varphi\varphi} = (3\lambda + 2\mu)A + 2\mu B/r^3$

$$\implies \tau_{\max}(r) = \frac{\sigma_1 - \sigma_3}{2} = \frac{3\mu|B|}{r^3}$$

fonction de r décroissante qui atteint son maximum en r = a:

$$\max \tau = \max_{r \in [a,b]} \tau_{\max}(r) = \tau_{\max}(a) = \frac{3\mu|B|}{a^3} = \frac{3}{4} \frac{\delta p}{1 - a^3/b^3}.$$

8.b
$$\max \tau \le \tau_0 \iff \frac{3}{4} \frac{1}{1 - a^3/b^3} \le R \iff \frac{a^3}{b^3} \le 1 - \frac{3}{4R}$$
.

Nécessairement, a/b > 0, il faut donc que

$$1 - \frac{3}{4R} > 0 \iff R > R_c = \frac{3}{4},$$

sinon aucune valeur de b > a ne permet de satisfaire le critère. Dans ce cas défavorable

$$R \le R_c \iff \tau_0 \le \frac{3}{4} \delta p ,$$

le matériau utilisé serait trop peu résistant pour assurer la tenue de la coque, même extrêmement épaisse, dans le régime élastique; le dimensionnement n'est possible qu'après un bon choix de matériau. Dans le cas favorable où $R > R_c$, la valeur minimale de b qui satisfait le critère est

$$b = a (1 - R_c/R)^{-1/3}$$
 (1)

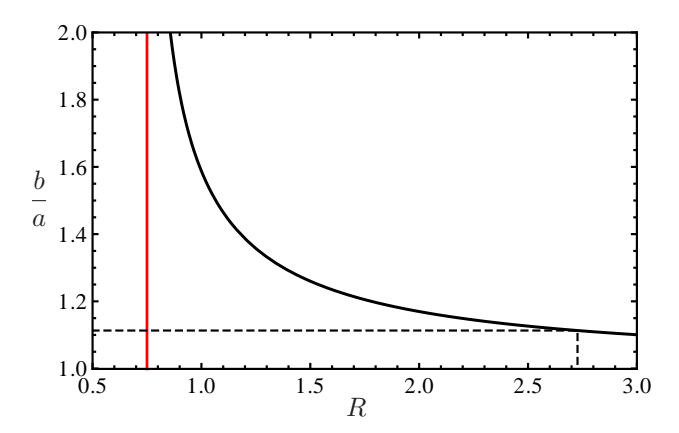


Fig. 2 — Rapport de rayon optimal b/a en fonction du paramètre $R = \tau_0/\delta p$, d'après l'équation (1). La droite verticale montre la valeur critique de R_c au dessous de laquelle aucune solution n'existe. Les segments pointillés montrent les valeurs correspondants à l'application numérique de la question 8.d.

8.c Cf. la Fig. 2.

Matériau peu résistant élastiquement $\leftrightarrow R \to R_c^+ \leftrightarrow b/a \to +\infty$: nécessité d'une coque extrêmement épaisse voire infiniment épaisse.

Au contraire, matériau extrêmement résistant élastiquement $\leftrightarrow R \to +\infty \leftrightarrow b \to a^+$: la coque peut être très mince.

8.d
$$R = 2,727 \implies b = 1,113 \ a = 61,22 \ \text{cm} \implies \boxed{e = 6,22 \ \text{cm}}$$

II Analyse physique fine et validation

9.a
$$A = -8.00 \ 10^{-4}$$
 et $B = -1.96 \ 10^{-4} \ \text{m}^3$.

9.b Avec A' = -A > 0, B' = -B > 0:

$$v(r) = |u(r)| = |Ar + Br^{-2}| = -u(r) = A'r + B'r^{-2},$$

 $v'(r) = A' - 2B'r^{-3}, \quad v''(r) = 6B'r^{-4}.$

Ainsi v'' > 0 donc v' est croissante sur [a,b]. Comme $v'(b) = -9{,}06\ 10^{-4} < 0$, v' < 0 sur [a,b]. La valeur maximale atteinte par |v'(r)| sur [a,b] est donc

$$\max |v'(r)| = |v'(a)| = 1.55 \cdot 10^{-3}$$
.

D'autre part, comme v' < 0, v est décroissante sur [a,b]. La valeur maximale atteinte par v(r) sur [a,b] est donc

$$\max v(r) = v(a) = 0.109 \text{ cm}$$
.

Cf. la Fig. 3a, la fonction v(r) varie peu dans l'intervalle [a,b]:

$$\delta v / \max v = [v(a) - v(b)]/v(a) \simeq 7\%.$$

En première approximation on retient que dans toute la coque

$$|u(r)| = v(r) \simeq v(a) \simeq 0.1 \text{ cm}$$
.

9.c Sur la Fig. 3b, on voit bien le *déplacement centripète de la coque* et sa *contraction* sous l'effet de la surpression extérieure.

9.d L'hypothèse de petits déplacements est bien vérifiée, puisqu'en ordre de grandeur

$$\frac{|u(r)|}{a} \; \simeq \; \frac{0.1 \text{ cm}}{55 \text{ cm}} \; \simeq \; 2 \; 10^{-3} \; \ll \; 1 \; .$$

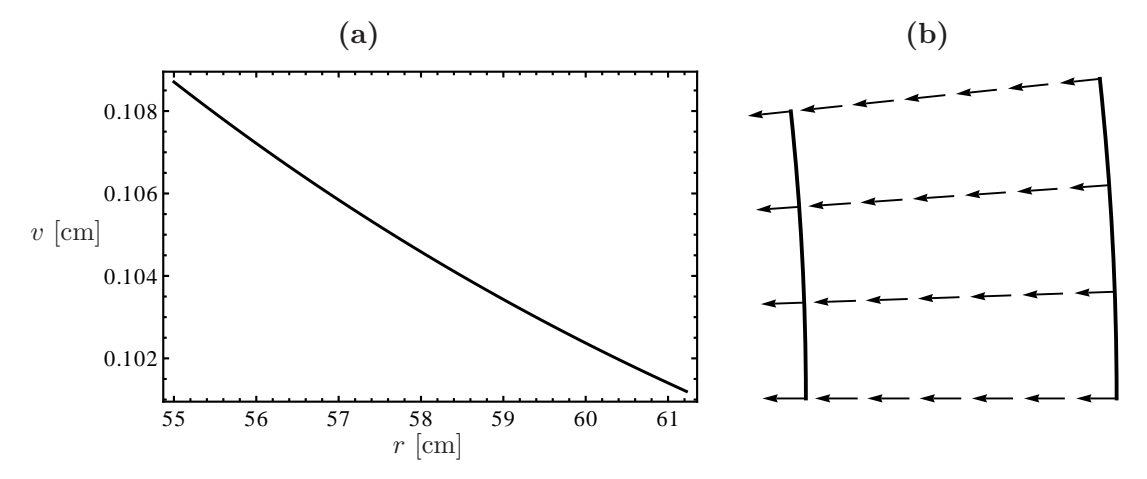


Fig. 3 – a : valeur absolue du déplacement radial en fonction du rayon, à l'intérieur de la coque. b : représentation du champ de déplacement vectoriel, amplifié d'un facteur 8 pour plus de visibilité.

10 L'hypothèse de petite transformation

$$\forall r \in [a,b] , \quad \left| \left| \overline{\overline{\nabla}} \overline{\mathbf{u}} \right| \right| \ll 1 \quad \Longleftrightarrow \quad \forall r \in [a,b] , \quad u'(r) \ll 1 \quad \text{et} \quad \frac{u(r)}{r} \ll 1 .$$

La deuxième condition équivaut à l'hypothèse de petits déplacements déjà démontrée. De plus

$$\forall r \in [a,b], |u'(r)| = |v'(r)| \le \max |v'(r)| = 1.55 \cdot 10^{-3} \ll 1$$

donc la première condition est vérifiée.

Ainsi l'hypothèse de petite transformation est bien vérifiée.

Compléments:

- Ce problème est une « variante » du sujet du test 1 de novembre 2013. Dans son esprit, il est aussi très proche du sujet du test 1 de novembre 2010, qui a été traité en TD. Je vous renvoie bien sûr aux compléments déjà donnés dans le document de cours TD PDF sur le sujet du test 1 de novembre 2013.
- Contrairement au sujet du test 1 de novembre 2013, on ne fait pas ici l'approximation de coque mince. Pour retrouver la « bonne valeur » de l'épaisseur (à savoir, son épaisseur réelle, e=6,35 cm), il faut considérer un acier plus résistant élastiquement que celui considéré en novembre 2013 : on a augmenté la valeur limite d'élasticité τ_0 de 240 MPa (valeur utilisée dans l'approximation de coque mince en 2013) à 300 MPa.

Si on suppose que $\tau_0 = 240$ MPa et on utilise la formule établie en coque épaisse pour b, on obtient maintenant

$$e = 8.3 \text{ cm}$$

ce qui confirme la mauvaise qualité de l'approximation de coque mince. D'autre part, on trouve une coque trop épaisse par rapport à la réalité, sans doute plus proche du cas étudié ici ($\tau_0 = 300 \text{ MPa}$, coque « épaisse »).

Grâce à l'utilisation d'aciers forgés, une limite d'élasticité $\tau_0=300$ MPa est facile à obtenir.